

# Projeto Final MC970 - Paralelização da Técnicas de Meios-Tons

Vinicius P. M. Miguel - RA260731  
Henrique Pareda de Souza - RA260497  
Raphael Salles Vitor de Souza - RA223641

23 de junho de 2025

## Sumário

|          |                                      |          |
|----------|--------------------------------------|----------|
| <b>1</b> | <b>Introdução</b>                    | <b>1</b> |
| <b>2</b> | <b>Formulação</b>                    | <b>2</b> |
| 2.1      | Formulação . . . . .                 | 2        |
| 2.2      | Implementação . . . . .              | 3        |
| 2.2.1    | Execução . . . . .                   | 3        |
| <b>3</b> | <b>Implementação</b>                 | <b>3</b> |
| 3.1      | Versão Serial . . . . .              | 3        |
| 3.2      | Versão Paralela com OpenMP . . . . . | 3        |
| 3.3      | Versão em CUDA . . . . .             | 4        |
| <b>4</b> | <b>Speedup</b>                       | <b>4</b> |
| <b>5</b> | <b>Conclusão</b>                     | <b>5</b> |
|          | <b>Referências</b>                   | <b>6</b> |

## 1 Introdução

A técnica de meios-tons (halftone) consiste na criação de padrões formados por pontos pretos e brancos para reduzir a quantidade de níveis de cinza de uma imagem monocromática. Este método é amplamente empregado por veículos de comunicação impressos, como o jornal (Figura 1), onde podemos representar diversas tonalidades de cinza utilizando apenas tinta preta disposta em forma de círculos de raio variado.

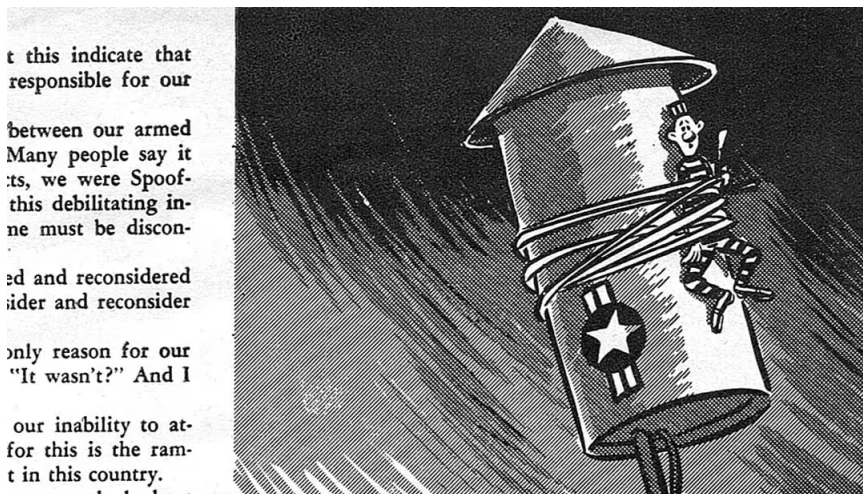


Figura 1: Aplicação de Halftone em materiais jornalísticos [1]

Em meios digitais, o halftone pode ser adaptado para transformar uma imagem monocromática de 256 níveis de cinza para uma com apenas pixels pretos e brancos, sendo muito utilizado para visualização de imagens e impressões.

Além dessas aplicações clássicas, esta técnica pode ser empregada, por exemplo, na criação de mensagens criptografadas [2] e de marcas d'água ocultas em conteúdos autorais [3].

Neste contexto, este exercício visa aplicar algumas técnicas de meios-tons por difusão de erro muito difundidas na literatura, explorando e discutindo as principais nuances de cada abordagem.

## 2 Formulação

### 2.1 Formulação

Dada uma imagem de entrada A com  $[a_{min}, \dots, a_{max}]$  níveis de cinza, desejamos aplicar um algoritmo de halftone que construa uma nova imagem B preta e branca, de forma que a imagem transformada fique visualmente parecida com a entrada. Este processo pode ser aplicado tanto para imagens em preto e branco quanto para imagens coloridas, sendo que, no caso das coloridas, o algoritmo é executado separadamente para cada canal de cor.

**Este conteúdo está em desenvolvimento. Planejamos alterar a forma de percorrer a matriz para implementar um pipeline que permita que este código seja mais eficiente em GPUs.**

A matriz de difusão armazena o peso que um determinado pixel possui na distribuição do erro. Para cada valor na matriz de difusão, atualizamos A de acordo com a Equação 1, onde  $x'$  e  $y'$  representam cada coordenada da matriz de difusão. Os métodos que serão apresentados diferem apenas quanto à escolha da matriz de difusão.

$$A(x', y') = A(x', y') + (x', y') \cdot erro \quad (1)$$

No escopo deste projeto, serão abordados 6 métodos de difusão de erros distintos: Floyd e Steinberg; Stevenson e Arce; Burkes; Sierra; Stucki; e Jarvis, Judice e Ninke. As suas respectivas matrizes de difusão de erro estão apresentadas nas Tabelas 1 a 6, onde  $f(x, y)$  corresponde a  $A(x, y, canal)$ .

|        |           |        |
|--------|-----------|--------|
|        | $f(x, y)$ | 7 / 16 |
| 3 / 16 | 5 / 16    | 1 / 16 |

Tabela 1: Floyd e Steinberg

|          |          |          |           |          |          |          |
|----------|----------|----------|-----------|----------|----------|----------|
|          |          |          | $f(x, y)$ |          | 32 / 200 |          |
| 12 / 200 |          | 26 / 200 |           | 30 / 200 |          | 16 / 200 |
|          | 12 / 200 |          | 26 / 200  |          | 12 / 200 |          |
| 5 / 200  |          | 12 / 200 |           | 12 / 200 |          | 5 / 200  |

Tabela 2: Stevenson e Arce

|        |        |        |           |        |        |
|--------|--------|--------|-----------|--------|--------|
|        |        |        | $f(x, y)$ | 8 / 32 | 4 / 32 |
| 2 / 32 | 4 / 32 | 8 / 32 | 4 / 32    | 2 / 32 |        |

Tabela 3: Burkes

|        |        |        |           |        |        |
|--------|--------|--------|-----------|--------|--------|
|        |        |        | $f(x, y)$ | 5 / 32 | 3 / 32 |
| 2 / 32 | 4 / 32 | 5 / 32 | 4 / 32    | 2 / 32 |        |
|        | 2 / 32 | 3 / 32 | 2 / 32    |        |        |

Tabela 4: Sierra

|        |        |           |        |        |
|--------|--------|-----------|--------|--------|
|        |        | $f(x, y)$ | 8 / 42 | 4 / 42 |
| 2 / 42 | 4 / 42 | 8 / 42    | 4 / 42 | 2 / 42 |
| 1 / 42 | 2 / 42 | 4 / 42    | 2 / 42 | 1 / 42 |

Tabela 5: Stucki

|        |        |           |        |        |
|--------|--------|-----------|--------|--------|
|        |        | $f(x, y)$ | 7 / 48 | 5 / 48 |
| 3 / 48 | 5 / 48 | 7 / 48    | 5 / 48 | 3 / 48 |
| 1 / 48 | 3 / 48 | 5 / 48    | 3 / 48 | 1 / 48 |

Tabela 6: Jarvis, Judice e Ninke

## 2.2 Implementação

### 2.2.1 Execução

O código referente à implementação do halftone pode ser encontrado em `1_halftoning.py`, recebendo como parâmetro no terminal o caminho até a entrada. O programa aceita mais de uma imagem de entrada, basta passar os respectivos caminhos em sequência.

## 3 Implementação

Neste capítulo, apresentamos as três versões do código desenvolvidas para fins comparativos: uma versão serial, uma versão paralelizada utilizando OpenMP e uma versão implementada em CUDA. Cada uma dessas versões será explicada em detalhes nas subseções a seguir.

### 3.1 Versão Serial

A versão serial do código, localizada no arquivo `serial.cpp`, foi implementada como ponto de partida para o desenvolvimento das versões paralelas. Nesta implementação, o algoritmo é executado de forma sequencial, processando os dados de entrada um elemento por vez. Essa abordagem é simples e direta, mas não aproveita os recursos de paralelismo disponíveis em arquiteturas modernas.

O código foi estruturado para ser claro e modular, facilitando a compreensão e a posterior paralelização. Ele realiza as seguintes etapas principais:

- Leitura dos dados de entrada.
- Processamento sequencial dos dados, aplicando a técnica de meios-tons utilizando difusão de erro.
- Escrita dos resultados no arquivo de saída.

O algoritmo de difusão de erro utilizado na versão serial é configurado para suportar diferentes métodos de dithering, como Floyd-Steinberg, Burkes, Sierra, entre outros. A escolha do método é feita com base em um parâmetro de entrada, permitindo flexibilidade na execução.

Essa versão serve como base para medir o desempenho inicial e comparar os ganhos obtidos com as versões paralelas. O código completo da implementação pode ser encontrado abaixo:

### 3.2 Versão Paralela com OpenMP

A versão paralela utilizando OpenMP foi desenvolvida a partir da versão serial, com o objetivo de explorar o paralelismo em CPUs multicore. O código-fonte desta versão é essencialmente o mesmo da versão serial, diferindo apenas pela inclusão de diretivas de paralelização do OpenMP, que são ativadas em tempo de compilação. Os resultados e o impacto dessas alterações serão discutidos na Seção 4.

### 3.3 Versão em CUDA

A versão em CUDA, que será implementada no futuro, tem como objetivo explorar o paralelismo massivo oferecido por GPUs. Esta subseção será preenchida com os detalhes da implementação assim que o código estiver concluído.

## 4 Speedup

Nesta seção, apresentamos as métricas de Speedup obtidas durante os experimentos. O Speedup é calculado como a razão entre o tempo de execução da versão serial e o tempo de execução das versões paralelas (OpenMP e CUDA). Foram consideradas duas abordagens principais:

- **Speedup por Método:** Para cada método de dithering (*FloydSteinberg*, *StevensonArce*, *Burkes*, *Sierra*, *Stucki*, *JarvisJudiceNinke*), calculamos o Speedup médio considerando todas as imagens processadas.
- **Speedup por Tamanho de Imagem:** Para cada tamanho de imagem (e.g., 1920x1080, 1280x720), calculamos o Speedup médio considerando todos os métodos de dithering aplicados.

Os resultados obtidos estão destacados nas Tabelas 7 e 8. Os campos em vermelho indicam os valores que ainda precisam ser preenchidos com os dados experimentais.

Tabela 7: Resultados de Speedup por Método

| Método            | Serial (s) | OpenMP (s) | CUDA (s) | Speedup OpenMP | Speedup CUDA |
|-------------------|------------|------------|----------|----------------|--------------|
| FloydSteinberg    | x.xx       | x.xx       | x.xx     | x.xx           | x.xx         |
| StevensonArce     | x.xx       | x.xx       | x.xx     | x.xx           | x.xx         |
| Burkes            | x.xx       | x.xx       | x.xx     | x.xx           | x.xx         |
| Sierra            | x.xx       | x.xx       | x.xx     | x.xx           | x.xx         |
| Stucki            | x.xx       | x.xx       | x.xx     | x.xx           | x.xx         |
| JarvisJudiceNinke | x.xx       | x.xx       | x.xx     | x.xx           | x.xx         |

Tabela 8: Resultados de Speedup por Tamanho de Imagem

| Tamanho da Imagem | Serial (s) | OpenMP (s) | CUDA (s) | Speedup OpenMP | Speedup CUDA |
|-------------------|------------|------------|----------|----------------|--------------|
| 800x600           | x.xx       | x.xx       | x.xx     | x.xx           | x.xx         |
| 1280x720          | x.xx       | x.xx       | x.xx     | x.xx           | x.xx         |
| 1920x1080         | x.xx       | x.xx       | x.xx     | x.xx           | x.xx         |

Tabela 9: Resultados de Eficiência por Método

| Método            | Eficiência OpenMP | Eficiência CUDA |
|-------------------|-------------------|-----------------|
| FloydSteinberg    | x.xx              | x.xx            |
| StevensonArce     | x.xx              | x.xx            |
| Burkes            | x.xx              | x.xx            |
| Sierra            | x.xx              | x.xx            |
| Stucki            | x.xx              | x.xx            |
| JarvisJudiceNinke | x.xx              | x.xx            |

Tabela 10: Resultados de Eficiência por Tamanho de Imagem

| Tamanho da Imagem | Eficiência OpenMP | Eficiência CUDA |
|-------------------|-------------------|-----------------|
| 800x600           | x.xx              | x.xx            |
| 1280x720          | x.xx              | x.xx            |
| 1920x1080         | x.xx              | x.xx            |

## 5 Conclusão

## Referências

- [1] C. Sperandio, “Setting the right tone.” <https://www.retrosupply.co/blogs/tutorials/setting-the-right-tone>.
- [2] Z. Wang, G. R. Arce, and G. Di Crescenzo, “Halftone visual cryptography via error diffusion,” *IEEE Transactions on Information Forensics and Security*, vol. 4, no. 3, pp. 383–396, 2009.
- [3] M. S. Fu and O. Au, “Data hiding watermarking for halftone images,” *IEEE Transactions on Image Processing*, vol. 11, no. 4, pp. 477–484, 2002.